Ein und Ausgabe:
Farbmetrisches Drucker-Reflektiv-System ORS20_95a
Daten für jede Farbe:
***u*_t* und Nummer *Nr.* = 00 .. 15**
Elementar-Buntontext:
u*_t* = 16 Buntтöne *r00j, r25j, ..., b75r
Kontrastreduzierungsfaktor:
c_R = 1.0

ORS20_95a; adaptierte CIELAB-Daten							
a^*_t	$L^{*-L^*_t}$	a^*_t	b^*_t	$C^*_{ab,t}$	$h^*_{ab,t}$	u^*_t	
r00j	47.06	67.41	32.12	74.67	25	*m84o*
r25j	53.95	53.38	48.38	72.04	42	*o17y*
r50j	63.6	35.87	59.45	69.43	59	*o42y*
r75j	73.37	18.14	70.66	72.95	76	*o68y*
j00g	85.24	−3.4	84.28	84.35	92	*o93y*
j25g	78.53	−25.99	72.23	76.76	110	*y24l*
j50g	68.25	−42.61	56.0	70.37	127	*y55l*
j75g	58.73	−57.99	40.99	71.02	145	*y85l*
g00b	55.66	−58.35	18.71	61.27	162	*l12c*
g25b	58.18	−46.2	−7.82	46.86	190	*l45c*
g50b	60.08	−37.02	−27.87	46.34	217	*l78c*
g75b	55.21	−20.63	−42.98	47.67	244	*c16v*
b00r	41.38	1.37	−45.05	45.07	272	*c58v*
b25r	26.43	27.03	−46.5	53.78	300	*v03m*
b50r	36.22	48.22	−29.42	56.48	329	*v54m*
b75r	47.81	72.75	−3.76	72.85	357	*m10c*

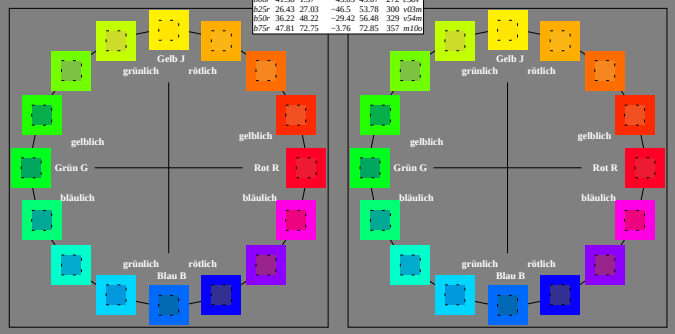

ORS20_95a; adaptierte CIELAB-Daten							
Name	$L^{*-L^*_t}$	a^*_t	b^*_t	$C^*_{ab,t}$	$h^*_{ab,t}$	u^*_t	
O_{Ma}	46.89	66.19	40.28	77.48	31		
Y_{Ma}	88.66	−9.62	88.21	88.73	96		
L_{Ma}	54.22	−65.29	33.87	73.56	153		
C_{Ma}	61.43	−30.53	−42.04	51.96	234		
V_{Ma}	25.93	25.95	−47.37	54.01	299		
M_{Ma}	47.92	73.53	−9.02	74.08	353		
W_{Ma}	94.64	0.0	0.0	0.0	0		
R_{CIE}	39.92	58.74	27.99	65.07	25		
K_{CIE}	81.26	−2.89	71.56	71.62	92		
G_{CIE}	52.23	−42.42	13.6	44.55	162		
B_{CIE}	30.57	1.41	−46.47	46.49	272		

Ein und Ausgabe: Farbmetrisches Drucker-Reflektiv-System ORS20_95, L*=20_95 für relativen CIELAB-Buntton *h = *lab*h** = h_{ab}/360 = 0.071 u^*_{ϵ} = *r00j***
Daten für jede Farbe:
lab*ch** und *lab*icu*
Buntontexte:
u*_ε* = *r00j* *u*_d* = *m84o
Kontrastreduzierungsfaktor:
c_R = 1.0
Dreiecks-Helligkeit *t**
Daten für Maximalfarbe (Ma):
LAB*LAB*_{Ma}: 47 67 32
LAB*LCH*_{Ma}: 47 75 25
lab*rgb*_{Ma}: 1.0 0.0 0.0
lab*olv*_{Ma}: 1.0 0.0 0.15
Dreiecks-Helligkeit *t**
%Umfang
*u**_{ref} = 87
%Regularität
$g^*_{R,rel}$ = 67
$g^*_{C,rel}$ = 59
*i** = 0,00
*i** = 0,25
*i** = 0,50
*i** = 0,75
*i** = 1,00
*i**=1,00
*i**=0,80
*i**=0,60
*i**=0,40
*i**=0,20
*i**=0,00
Brillantheit *i**
relative Buntheit *c**

ORS20_95a; adaptierte CIELAB-Daten							
a^*_t	$L^{*-L^*_t}$	a^*_t	b^*_t	$C^*_{ab,t}$	$h^*_{ab,t}$	u^*_t	
r00j	47.06	67.41	32.12	74.67	25	*m84o*
r25j	53.95	53.38	48.38	72.04	42	*o17y*
r50j	63.6	35.87	59.45	69.43	59	*o42y*
r75j	73.37	18.14	70.66	72.95	76	*o68y*
j00g	85.24	−3.4	84.28	84.35	92	*o93y*
j25g	78.53	−25.99	72.23	76.76	110	*y24l*
j50g	68.25	−42.61	56.0	70.37	127	*y55l*
j75g	58.73	−57.99	40.99	71.02	145	*y85l*
g00b	55.66	−58.35	18.71	61.27	162	*l12c*
g25b	58.18	−46.2	−7.82	46.86	190	*l45c*
g50b	60.08	−37.02	−27.87	46.34	217	*l78c*
g75b	55.21	−20.63	−42.98	47.67	244	*c16v*
b00r	41.38	1.37	−45.05	45.07	272	*c58v*
b25r	26.43	27.03	−46.5	53.78	300	*v03m*
b50r	36.22	48.22	−29.42	56.48	329	*v54m*
b75r	47.81	72.75	−3.76	72.85	357	*m10c*

Ein und Ausgabe: Farbmetrisches Drucker-Reflektiv-System ORS20_95, L*=20_95 für relativen CIELAB-Buntton *h = *lab*h** = h_{ab}/360 = 0.117 u^*_{ϵ} = *r25j***
Daten für jede Farbe:
lab*ch** und *lab*icu*
Buntontexte:
u*_ε* = *r25j* *u*_d* = *o17y
Kontrastreduzierungsfaktor:
c_R = 1.0
Dreiecks-Helligkeit *t**
Daten für Maximalfarbe (Ma):
LAB*LAB*_{Ma}: 54 53 48
LAB*LCH*_{Ma}: 54 72 42
lab*rgb*_{Ma}: 1.0 0.25 0.0
lab*olv*_{Ma}: 1.0 0.17 0.0
Dreiecks-Helligkeit *t**
%Umfang
*u**_{ref} = 87
%Regularität
$g^*_{R,rel}$ = 67
$g^*_{C,rel}$ = 59
*i** = 0,00
*i** = 0,25
*i** = 0,50
*i** = 0,75
*i** = 1,00
*i**=1,00
*i**=0,80
*i**=0,60
*i**=0,40
*i**=0,20
*i**=0,00
Brillantheit *i**
relative Buntheit *c**

ORS20_95a; adaptierte CIELAB-Daten							
a^*_t	$L^{*-L^*_t}$	a^*_t	b^*_t	$C^*_{ab,t}$	$h^*_{ab,t}$	u^*_t	
r00j	47.06	67.41	32.12	74.67	25	*m84o*
r25j	53.95	53.38	48.38	72.04	42	*o17y*
r50j	63.6	35.87	59.45	69.43	59	*o42y*
r75j	73.37	18.14	70.66	72.95	76	*o68y*
j00g	85.24	−3.4	84.28	84.35	92	*o93y*
j25g	78.53	−25.99	72.23	76.76	110	*y24l*
j50g	68.25	−42.61	56.0	70.37	127	*y55l*
j75g	58.73	−57.99	40.99	71.02	145	*y85l*
g00b	55.66	−58.35	18.71	61.27	162	*l12c*
g25b	58.18	−46.2	−7.82	46.86	190	*l45c*
g50b	60.08	−37.02	−27.87	46.34	217	*l78c*
g75b	55.21	−20.63	−42.98	47.67	244	*c16v*
b00r	41.38	1.37	−45.05	45.07	272	*c58v*
b25r	26.43	27.03	−46.5	53.78	300	*v03m*
b50r	36.22	48.22	−29.42	56.48	329	*v54m*
b75r	47.81	72.75	−3.76	72.85	357	*m10c*

Ein und Ausgabe: Farbmetrisches Drucker-Reflektiv-System ORS20_95, L*=20_95 für relativen CIELAB-Buntton *h = *lab*h** = h_{ab}/360 = 0.164 u^*_{ϵ} = *r50j***
Daten für jede Farbe:
lab*ch** und *lab*icu*
Buntontexte:
u*_ε* = *r50j* *u*_d* = *o42y
Kontrastreduzierungsfaktor:
c_R = 1.0
Dreiecks-Helligkeit *t**
Daten für Maximalfarbe (Ma):
LAB*LAB*_{Ma}: 64 36 59
LAB*LCH*_{Ma}: 64 69 58
lab*rgb*_{Ma}: 1.0 0.5 0.0
lab*olv*_{Ma}: 1.0 0.42 0.0
Dreiecks-Helligkeit *t**
%Umfang
*u**_{ref} = 87
%Regularität
$g^*_{R,rel}$ = 67
$g^*_{C,rel}$ = 59
*i** = 0,00
*i** = 0,25
*i** = 0,50
*i** = 0,75
*i** = 1,00
*i**=1,00
*i**=0,80
*i**=0,60
*i**=0,40
*i**=0,20
*i**=0,00
Brillantheit *i**
relative Buntheit *c**

ORS20_95a; adaptierte CIELAB-Daten							
a^*_t	$L^{*-L^*_t}$	a^*_t	b^*_t	$C^*_{ab,t}$	$h^*_{ab,t}$	u^*_t	
r00j	47.06	67.41	32.12	74.67	25	*m84o*
r25j	53.95	53.38	48.38	72.04	42	*o17y*
r50j	63.6	35.87	59.45	69.43	59	*o42y*
r75j	73.37	18.14	70.66	72.95	76	*o68y*
j00g	85.24	−3.4	84.28	84.35	92	*o93y*
j25g	78.53	−25.99	72.23	76.76	110	*y24l*
j50g	68.25	−42.61	56.0	70.37	127	*y55l*
j75g	58.73	−57.99	40.99	71.02	145	*y85l*
g00b	55.66	−58.35	18.71	61.27	162	*l12c*
g25b	58.18	−46.2	−7.82	46.86	190	*l45c*
g50b	60.08	−37.02	−27.87	46.34	217	*l78c*
g75b	55.21	−20.63	−42.98	47.67	244	*c16v*
b00r	41.38	1.37	−45.05	45.07	272	*c58v*
b25r	26.43	27.03	−46.5	53.78	300	*v03m*
b50r	36.22	48.22	−29.42	56.48	329	*v54m*
b75r	47.81	72.75	−3.76	72.85	357	*m10c*

Ein und Ausgabe: Farbmetrisches Drucker-Reflektiv-System ORS20_95, L*=20_95 für relativen CIELAB-Buntton *h = *lab*h** = h_{ab}/360 = 0.21 u^*_{ϵ} = *r75j***
Daten für jede Farbe:
lab*ch** und *lab*icu*
Buntontexte:
u*_ε* = *r75j* *u*_d* = *o68y
Kontrastreduzierungsfaktor:
c_R = 1.0
Dreiecks-Helligkeit *t**
Daten für Maximalfarbe (Ma):
LAB*LAB*_{Ma}: 73 18 71
LAB*LCH*_{Ma}: 73 73 75
lab*rgb*_{Ma}: 1.0 0.75 0.0
lab*olv*_{Ma}: 1.0 0.68 0.0
Dreiecks-Helligkeit *t**
%Umfang
*u**_{ref} = 87
%Regularität
$g^*_{R,rel}$ = 67
$g^*_{C,rel}$ = 59
*i** = 0,00
*i** = 0,25
*i** = 0,50
*i** = 0,75
*i** = 1,00
*i**=1,00
*i**=0,80
*i**=0,60
*i**=0,40
*i**=0,20
*i**=0,00
Brillantheit *i**
relative Buntheit *c**

ORS20_95a; adaptierte CIELAB-Daten							
a^*_t	$L^{*-L^*_t}$	a^*_t	b^*_t	$C^*_{ab,t}$	$h^*_{ab,t}$	u^*_t	
r00j	47.06	67.41	32.12	74.67	25	*m84o*
r25j	53.95	53.38	48.38	72.04	42	*o17y*
r50j	63.6	35.87	59.45	69.43	59	*o42y*
r75j	73.37	18.14	70.66	72.95	76	*o68y*
j00g	85.24	−3.4	84.28	84.35	92	*o93y*
j25g	78.53	−25.99	72.23	76.76	110	*y24l*
j50g	68.25	−42.61	56.0	70.37	127	*y55l*
j75g	58.73	−57.99	40.99	71.02	145	*y85l*
g00b	55.66	−58.35	18.71	61.27	162	*l12c*
g25b	58.18	−46.2	−7.82	46.86	190	*l45c*
g50b	60.08	−37.02	−27.87	46.34	217	*l78c*
g75b	55.21	−20.63	−42.98	47.67	244	*c16v*
b00r	41.38	1.37	−45.05	45.07	272	*c58v*
b25r	26.43	27.03	−46.5	53.78	300	*v03m*
b50r	36.22	48.22	−29.42	56.48	329	*v54m*
b75r	47.81	72.75	−3.76	72.85	357	*m10c*

Ein und Ausgabe: Farbmetrisches Drucker-Reflektiv-System ORS20_95, L*=20_95 für relativen CIELAB-Buntton *h = *lab*h** = h_{ab}/360 = 0.256 u^*_{ϵ} = *j00g***
Daten für jede Farbe:
lab*ch** und *lab*icu*
Buntontexte:
u*_ε* = *j00g* *u*_d* = *o93y
Kontrastreduzierungsfaktor:
c_R = 1.0
Dreiecks-Helligkeit *t**
Daten für Maximalfarbe (Ma):
LAB*LAB*_{Ma}: 85 −3 84
LAB*LCH*_{Ma}: 85 84 92
lab*rgb*_{Ma}: 1.0 1.0 0.0
lab*olv*_{Ma}: 1.0 0.94 0.0
Dreiecks-Helligkeit *t**
%Umfang
*u**_{ref} = 87
%Regularität
$g^*_{R,rel}$ = 67
$g^*_{C,rel}$ = 59
*i** = 0,00
*i** = 0,25
*i** = 0,50
*i** = 0,75
*i** = 1,00
*i**=1,00
*i**=0,80
*i**=0,60
*i**=0,40
*i**=0,20
*i**=0,00
Brillantheit *i**
relative Buntheit *c**

ORS20_95a; adaptierte CIELAB-Daten							
a^*_t	$L^{*-L^*_t}$	a^*_t	b^*_t	$C^*_{ab,t}$	$h^*_{ab,t}$	u^*_t	
r00j	47.06	67.41	32.12	74.67	25	*m84o*
r25j	53.95	53.38	48.38	72.04	42	*o17y*
r50j	63.6	35.87	59.45	69.43	59	*o42y*
r75j	73.37	18.14	70.66	72.95	76	*o68y*
j00g	85.24	−3.4	84.28	84.35	92	*o93y*
j25g	78.53	−25.99	72.23	76.76	110	*y24l*
j50g	68.25	−42.61	56.0	70.37	127	*y55l*
j75g	58.73	−57.99	40.99	71.02	145	*y85l*
g00b	55.66	−58.35	18.71	61.27	162	*l12c*
g25b	58.18	−46.2	−7.82	46.86	190	*l45c*
g50b	60.08	−37.02	−27.87	46.34	217	*l78c*
g75b	55.21	−20.63	−42.98	47.67	244	*c16v*
b00r	41.38	1.37	−45.05	45.07	272	*c58v*
b25r	26.43	27.03	−46.5	53.78	300	*v03m*
b50r	36.22	48.22	−29.42	56.48	329	*v54m*
b75r	47.81	72.75	−3.76	72.85	357	*m10c*

Ein und Ausgabe: Farbmetrisches Drucker-Reflektiv-System ORS20_95, L*=20_95 für relativen CIELAB-Buntton *h = *lab*h** = h_{ab}/360 = 0.305 u^*_{ϵ} = *j25g***
Daten für jede Farbe:
lab*ch** und *lab*icu*
Buntontexte:
u*_ε* = *j25g* *u*_d* = *y24l
Kontrastreduzierungsfaktor:
c_R = 1.0
Dreiecks-Helligkeit *t**
Daten für Maximalfarbe (Ma):
LAB*LAB*_{Ma}: 79 −26 72
LAB*LCH*_{Ma}: 79 77 109
lab*rgb*_{Ma}: 0.75 1.0 0.0
lab*olv*_{Ma}: 0.76 1.0 0.0
Dreiecks-Helligkeit *t**
%Umfang
*u**_{ref} = 87
%Regularität
$g^*_{R,rel}$ = 67
$g^*_{C,rel}$ = 59
*i** = 0,00
*i** = 0,25
*i** = 0,50
*i** = 0,75
*i** = 1,00
*i**=1,00
*i**=0,80
*i**=0,60
*i**=0,40
*i**=0,20
*i**=0,00
Brillantheit *i**
relative Buntheit *c**

ORS20_95a; adaptierte CIELAB-Daten							
a^*_t	$L^{*-L^*_t}$	a^*_t	b^*_t	$C^*_{ab,t}$	$h^*_{ab,t}$	u^*_t	
r00j	47.06	67.41	32.12	74.67	25	*m84o*
r25j	53.95	53.38	48.38	72.04	42	*o17y*
r50j	63.6	35.87	59.45	69.43	59	*o42y*
r75j	73.37	18.14	70.66	72.95	76	*o68y*
j00g	85.24	−3.4	84.28	84.35	92	*o93y*
j25g	78.53	−25.99	72.23	76.76	110	*y24l*
j50g	68.25	−42.61	56.0	70.37	127	*y55l*
j75g	58.73	−57.99	40.99	71.02	145	*y85l*
g00b	55.66	−58.35	18.71	61.27	162	*l12c*
g25b	58.18	−46.2	−7.82	46.86	190	*l45c*
g50b	60.08	−37.02	−27.87	46.34	217	*l78c*
g75b	55.21	−20.63	−42.98	47.67	244	*c16v*
b00r	41.38	1.37	−45.05	45.07	272	*c58v*
b25r	26.43	27.03	−46.5	53.78	300	*v03m*
b50r	36.22	48.22	−29.42	56.48	329	*v54m*
b75r	47.81	72.75	−3.76	72.85	357	*m10c*

Ein und Ausgabe: Farbmetrisches Drucker-Reflektiv-System ORS20_95, L*=20_95 für relativen CIELAB-Buntton *h = *lab*h** = h_{ab}/360 = 0.354 u^*_{ϵ} = *j50g***
Daten für jede Farbe:
lab*ch** und *lab*icu*
Buntontexte:
u*_ε* = *j50g* *u*_d* = *y55l
Kontrastreduzierungsfaktor:
c_R = 1.0
Dreiecks-Helligkeit *t**
Daten für Maximalfarbe (Ma):
LAB*LAB*_{Ma}: 68 −43 56
LAB*LCH*_{Ma}: 68 70 127
lab*rgb*_{Ma}: 0.5 1.0 0.0
lab*olv*_{Ma}: 0.45 1.0 0.0
Dreiecks-Helligkeit *t**
%Umfang
*u**_{ref} = 87
%Regularität
$g^*_{R,rel}$ = 67
$g^*_{C,rel}$ = 59
*i** = 0,00
*i** = 0,25
*i** = 0,50
*i** = 0,75
*i** = 1,00
*i**=1,00
*i**=0,80
*i**=0,60
*i**=0,40
*i**=0,20
*i**=0,00
Brillantheit *i**
relative Buntheit *c**

ORS20_95a; adaptierte CIELAB-Daten							
a^*_t	$L^{*-L^*_t}$	a^*_t	b^*_t	$C^*_{ab,t}$	$h^*_{ab,t}$	u^*_t	
r00j	47.06	67.41	32.12	74.67	25	*m84o*
r25j	53.95	53.38	48.38	72.04	42	*o17y*
r50j	63.6	35.87	59.45	69.43	59	*o42y*
r75j	73.37	18.14	70.66	72.95	76	*o68y*
j00g	85.24	−3.4	84.28	84.35	92	*o93y*
j25g	78.53	−25.99	72.23	76.76	110	*y24l*
j50g	68.25	−42.61	56.0	70.37	127	*y55l*
j75g	58.73	−57.99	40.99	71.02	145	*y85l*
g00b	55.66	−58.35	18.71	61.27	162	*l12c*
g25b	58.18	−46.2	−7.82	46.86	190	*l45c*
g50b	60.08	−37.02	−27.87	46.34	217	*l78c*
g75b	55.21	−20.63	−42.98	47.67	244	*c16v*
b00r	41.38	1.37	−45.05	45.07	272	*c58v*
b25r	26.43	27.03	−46.5	53.78	300	*v03m*
b50r	36.22	48.22	−29.42	56.48	329	*v54m*
b75r	47.81	72.75	−3.76	72.85	357	*m10c*

Ein und Ausgabe: Farbmetrisches Drucker-Reflektiv-System ORS20_95, L*=20_95 für relativen CIELAB-Buntton *h = *lab*h** = h_{ab}/360 = 0.402 u^*_{ϵ} = *j75g***
Daten für jede Farbe:
lab*ch** und *lab*icu*
Buntontexte:
u*_ε* = *j75g* *u*_d* = *y85l
Kontrastreduzierungsfaktor:
c_R = 1.0
Dreiecks-Helligkeit *t**
Daten für Maximalfarbe (Ma):
LAB*LAB*_{Ma}: 59 −58 41
LAB*LCH*_{Ma}: 59 71 144
lab*rgb*_{Ma}: 0.25 1.0 0.0
lab*olv*_{Ma}: 0.14 1.0 0.0
Dreiecks-Helligkeit *t**
%Umfang
*u**_{ref} = 87
%Regularität
$g^*_{R,rel}$ = 67
$g^*_{C,rel}$ = 59
*i** = 0,00
*i** = 0,25
*i** = 0,50
*i** = 0,75
*i** = 1,00
*i**=1,00
*i**=0,80
*i**=0,60
*i**=0,40
*i**=0,20
*i**=0,00
Brillantheit *i**
relative Buntheit *c**

ORS20_95a; adaptierte CIELAB-Daten							
a^*_t	$L^{*-L^*_t}$	a^*_t	b^*_t	$C^*_{ab,t}$	$h^*_{ab,t}$	u^*_t	
r00j	47.06	67.41	32.12	74.67	25	*m84o*
r25j	53.95	53.38	48.38	72.04	42	*o17y*
r50j	63.6	35.87	59.45	69.43	59	*o42y*
r75j	73.37	18.14	70.66	72.95	76	*o68y*
j00g	85.24	−3.4	84.28	84.35	92	*o93y*
j25g	78.53	−25.99	72.23	76.76	110	*y24l*
j50g	68.25	−42.61	56.0	70.37	127	*y55l*
j75g	58.73	−57.99	40.99	71.02	145	*y85l*
g00b	55.66	−58.35	18.71	61.27	162	*l12c*
g25b	58.18	−46.2	−7.82	46.86	190	*l45c*
g50b	60.08	−37.02	−27.87	46.34	217	*l78c*
g75b	55.21	−20.63	−42.98	47.67	244	*c16v*
b00r	41.38	1.37	−45.05	45.07	272	*c58v*
b25r	26.43	27.03	−46.5	53.78	300	*v03m*
b50r	36.22	48.22	−29.42	56.48	329	*v54m*
b75r	47.81	72.75	−3.76	72.85	357	*m10c*